

## 第二章 RF设计中的基本概念

---

- 噪声
  - 起伏噪声特性
  - 电路器件的噪声
  - 噪声系数
  - 等效噪声温度
  - 多级线性网络级联的噪声系数
- 非线性
- 灵敏度
- 动态范围

## 2.1 起伏噪声

---

- 电路中的主要噪声来源：
  - 电阻内电子的热运动
  - 晶体管中带电粒子的不规则运动
- 噪声限制了系统所能处理的最低信号电平
- 起伏噪声的定义：
  - 随机噪声
  - 在某一平均值上下作连续的不规则的起伏变化
- 特点（以电阻热噪声为例）：
  - 随机性
  - 电流脉冲持续时间短
  - 平均值为零

# 起伏噪声特性

- 频谱——极宽，几乎占据整个无线电频段

- 功率谱密度  $S(f)$  —— 单位: dBm/Hz

频带  $\Delta f = f_2 - f_1$  内的噪声功率:

$$\left\{ \begin{aligned} P_V &= \int_{f_1}^{f_2} S_V(f) df \\ P_I &= \int_{f_1}^{f_2} S_I(f) df \end{aligned} \right.$$

电压功率谱密度  $S_V(f)$

噪声电压均方值  $\overline{V_n^2}$

$$\overline{V_n^2} = \int_{f_1}^{f_2} S_V(f) df$$

电流功率谱密度  $S_I(f)$

噪声电流均方值  $\overline{I_n^2}$

$$\overline{I_n^2} = \int_{f_1}^{f_2} S_I(f) df$$

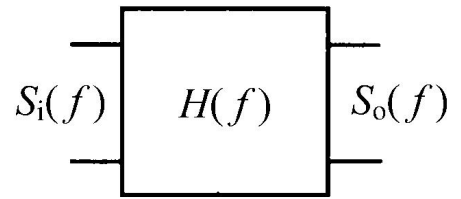
在频带内单位电阻上的噪声功率

白噪声:  $S(f)$  是常数  $\overline{I_n^2} = \int_{f_1}^{f_2} S_I(f) df = S_I \int_{f_1}^{f_2} df = S_I(f_2 - f_1)$

## • 等效噪声带宽

噪声通过线性  
时不变系统

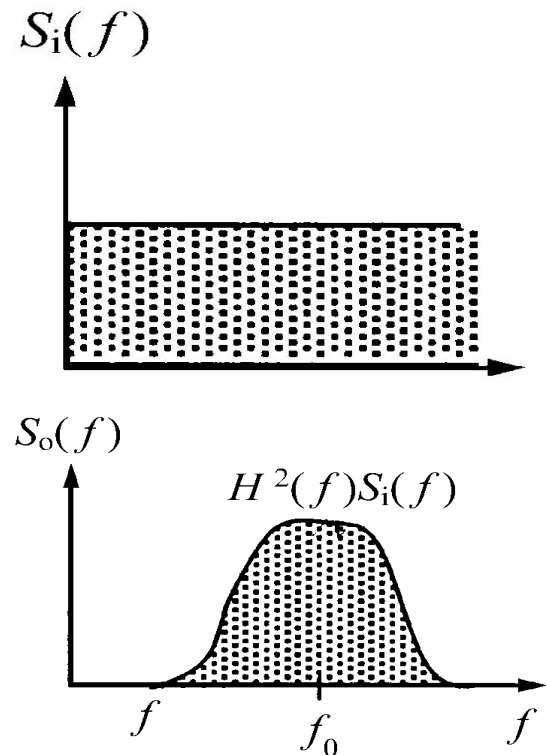
$\swarrow$  输入功率谱密度  $S_i(f)$   
 $\rightarrow$  系统电压传递函数  $H(f)$   
 $\searrow$  输出功率谱密度  $S_o(f)$



$$S_o(f) = S_i(f) |H(f)|^2$$

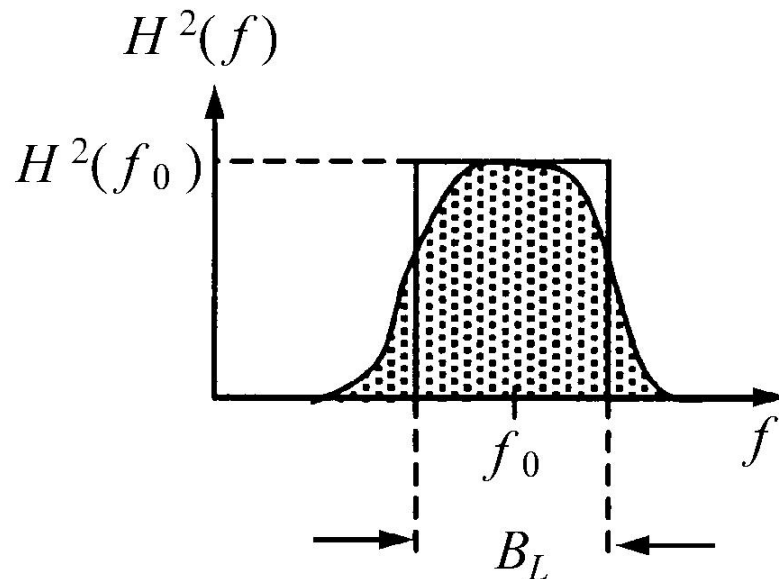
当白噪声通过线性时不变系统时,  
输出噪声电压均方值可表示为:

$$\overline{V_n^2} = \int_0^{+\infty} S_i(f) |H(f)|^2 df = S_i \int_0^{+\infty} |H(f)|^2 df$$



等效噪声带宽定义为：

$$B_L = \frac{\int_0^{+\infty} |H(f)|^2 df}{H^2(f_0)}$$



系统总输出噪声为：

$$\overline{V_n^2} = \int_0^{+\infty} S_i(f) |H(f)|^2 df = S_i H^2(f_0) B_L$$

结论：系统等效噪声带宽越大，输出噪声越大

## 2.2 电路器件的噪声

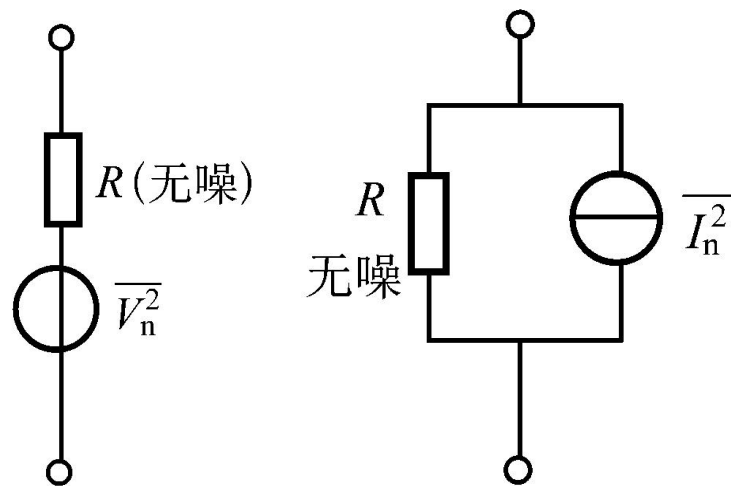
### 2.2.1 电阻的噪声

1. 功率谱密度
- 电流  $S_I = 4kT \frac{1}{R}$
  - 电压  $S_V = S_I R^2 = 4kTR$
- 白噪声

### 2. 等效电路

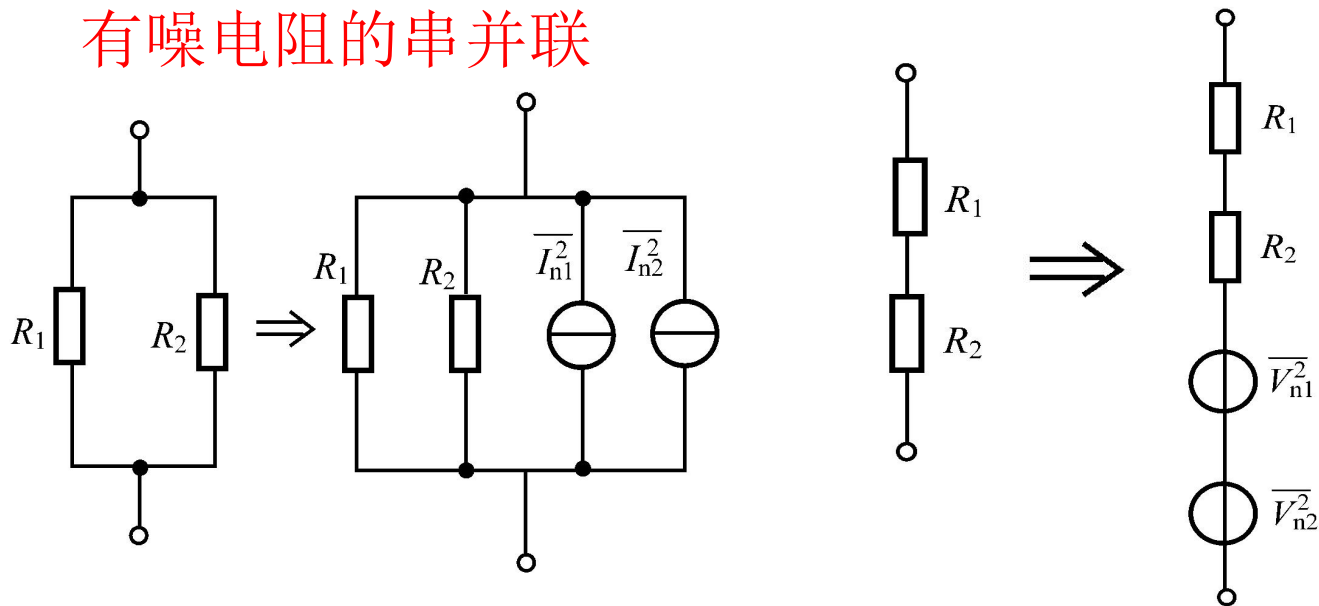
串联：无噪电阻R串噪声电压源  $\overline{V_n^2}$

并联：无噪电阻R并噪声电流源  $\overline{I_n^2}$



$$\overline{V_n^2} = 4kTRB \quad \overline{I_n^2} = 4kT \frac{1}{R} B \quad (B \text{ 为系统带宽})$$

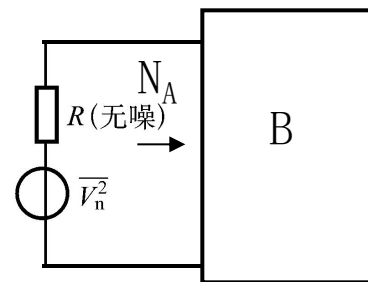
### 3. 有噪电阻的串并联



### 4. 额定噪声功率（条件：噪声源与系统匹配）

$$N_A = \frac{\overline{V_n^2}}{4R} = \frac{4kTRB}{4R} = kTB$$

- 特点
- 与噪声源电阻  $R$  大小无关
  - 与噪声源温度有关



## 2.2.2 双极型晶体管的噪声

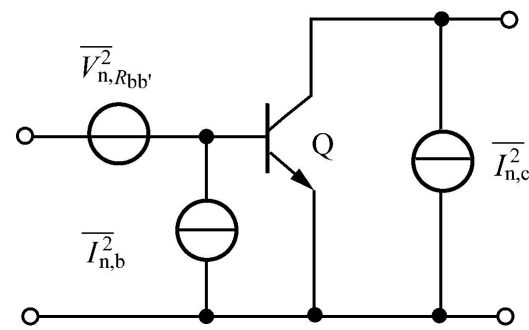
1. 基区电阻  $r_{bb'}$  热噪声  $\overline{V_{n,r_{bb'}}^2}$

2. PN结散粒噪声 shot noise-功率谱密度

3. 噪声等效电路  $S_I = 2qI_0$

$$\overline{I_{n,c}^2} = 2qI_c B \quad \overline{I_{n,b}^2} = 2qI_b B \quad \overline{V_{n,r_{bb'}}^2} = 4kTr_{bb'}B$$

—— 白噪声

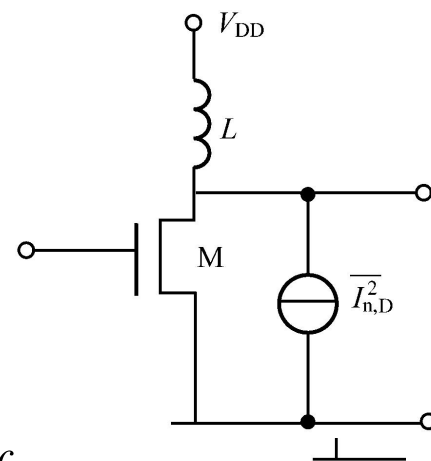


## 2.2.3 场效应管的噪声

1. 沟道电阻热噪声 ——  $S_I = 4kT\gamma g_{d0}$

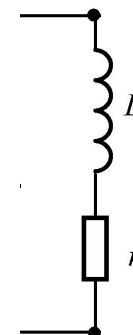
2. 噪声等效电路  $\overline{I_{n,D}^2} = 4kT\gamma g_{d0}B$

3. 闪烁噪声 flicker noise-噪声  $S_V = \frac{K}{WLC_{OX}} \frac{1}{f}$



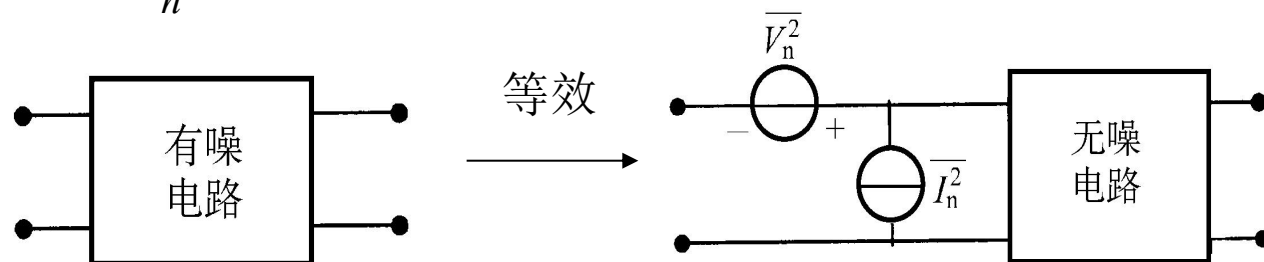
## 2.2.4 电抗元件的噪声

电抗元件的噪声来源于它的损耗电阻——热噪声



## 2.2.5 两端口网络的等效输入噪声源

串联噪声电压源  $\overline{V_n^2}$   
并联噪声电流源  $\overline{I_n^2}$



求法:

$\overline{V_n^2}$  —— 输入端短路, 将有噪网络的输出噪声功率等效到输入端的值

$\overline{I_n^2}$  —— 输入端开路, 将有噪网络的输出噪声功率等效到输入端的值

## 2.3 噪声系数

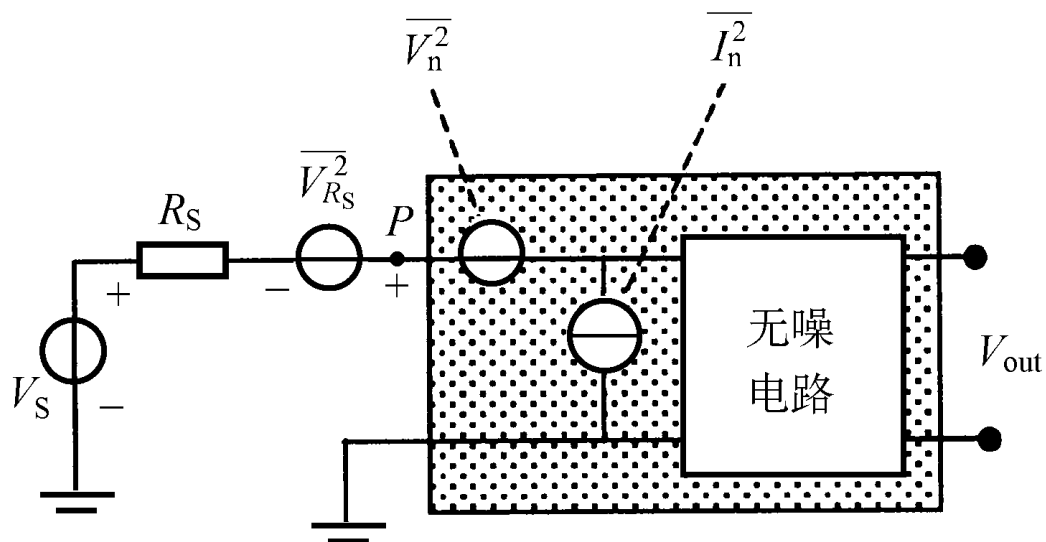
### 2.3.1 噪声系数(noise factor-F;noise figure-NF)

$$F = \frac{SNR_i}{SNR_o} = \frac{P_i / N_i}{P_o / N_o}$$



$$NF(dB) = 10 \log F$$

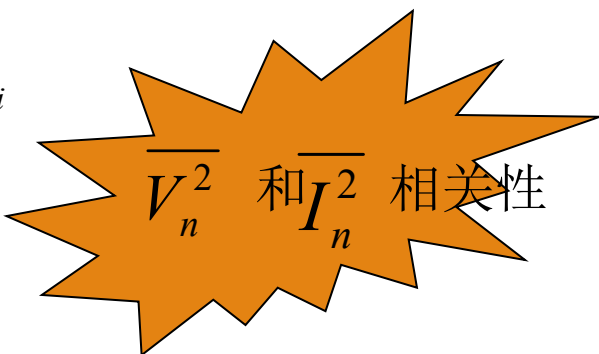
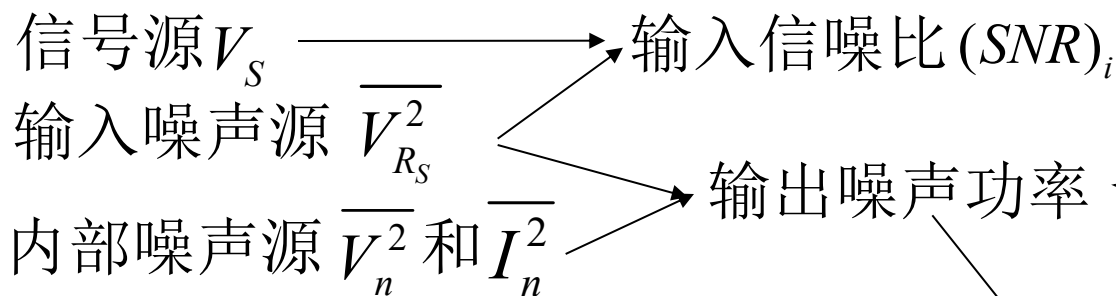
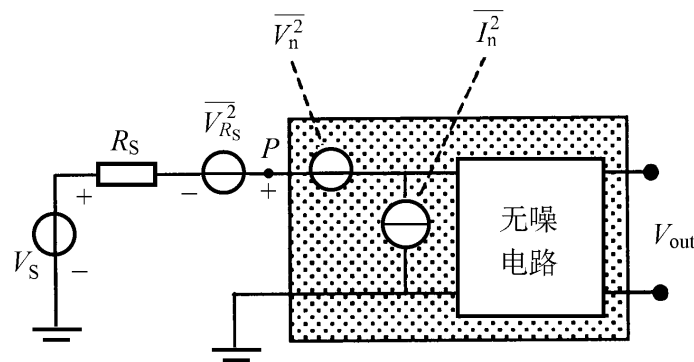
### 2.3.2 噪声系数与等效输入噪声源的关系



信号源产生的噪声电压均方值为:

$$\overline{V_{R_S}^2} = 4kTR_S B$$

$R_S$  为信号源内阻,  $B$  为线性网络带宽



信号源  $V_S$  → 输出信号功率 → 输出信噪比  $(SNR)_o$

$$F = \frac{(SNR)_i}{(SNR)_o} = \frac{\overline{V_{R_S}^2} + \overline{(V_n + I_n R_S)^2}}{\overline{V_{R_S}^2}} = 1 + \frac{\overline{(V_n + I_n R_S)^2}}{4kTR_S B}$$

## 对噪声系数的理解

$$F = \frac{(SNR)_i}{(SNR)_o} = 1 + \frac{\overline{(V_n + I_n R_S)^2}}{4kTR_S B}$$

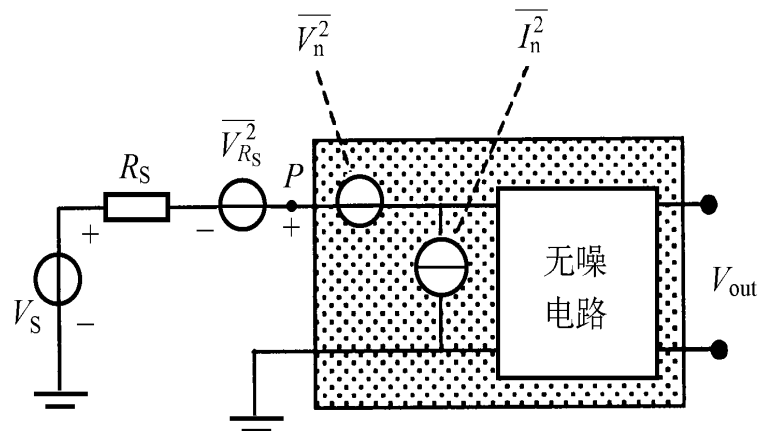
- 有噪网络的噪声系数一定大于1
- 噪声系数与网络内部噪声大小有关
- 网络的噪声系数与外部源噪声有关

- 与源噪声温度  $T$  有关  $\longrightarrow$

测量噪声系数时，规定标准噪声温度  $T_0=290k$

- 与源内阻  $R$  有关  $\longrightarrow$

噪声匹配  $\longrightarrow$  噪声系数最小  $\longrightarrow$  最佳源内阻



$$F = \frac{(SNR)_i}{(SNR)_o} = 1 + \frac{\overline{(V_n + I_n R_S)^2}}{4kTR_S B}$$

- 高源阻抗,  $\overline{I_n^2}$  为主要噪声源
- 低源阻抗,  $\overline{V_n^2}$  为主要噪声源

- 功率匹配: 传输功率最大, 阻抗共轭匹配
- 噪声匹配: 系统噪声系数最小

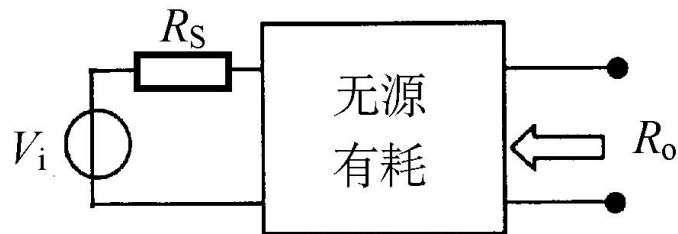
- 使系统噪声系数最小的最佳信号源内阻  $R_{S_{opt}}^2 = \frac{\overline{V_n^2}}{\overline{I_n^2}}$

- 双极型(场效应)晶体管的最佳源阻抗和最小噪声系数? (自己证明)

## 2.3.3 无源有损网络的噪声系数

分析条件: 输入、输出端均匹配

已知: 无源有耗网络的损耗为  $L$   
带宽为  $B$



信号源内阻  $R_S$  产生的额定噪声功率为  $N_{iA} = KTB$

输出电阻  $R_o$  产生的额定噪声功率为  $N_{oA} = KTB$

根据噪声系数的定义

$$F = \frac{P_i / N_{iA}}{P_o / N_{oA}} = \frac{N_{oA}}{G_P \cdot N_{iA}} = \frac{1}{G_P} = L$$

结论: 无源有耗网络的噪声系数在数值上等于它的损耗

## 2.4 等效噪声温度

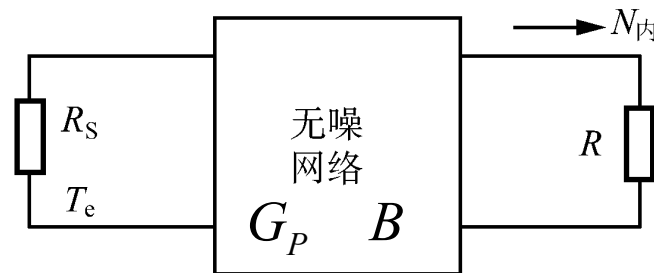
### 2.4.1 等效噪声温度定义

条件：有噪线性网络、  
产生白噪声、匹配



定义：将网络视为无噪，其内部噪声折合到输入源端，  
视为由某电阻在温度  $T_e$  时产生的白噪声

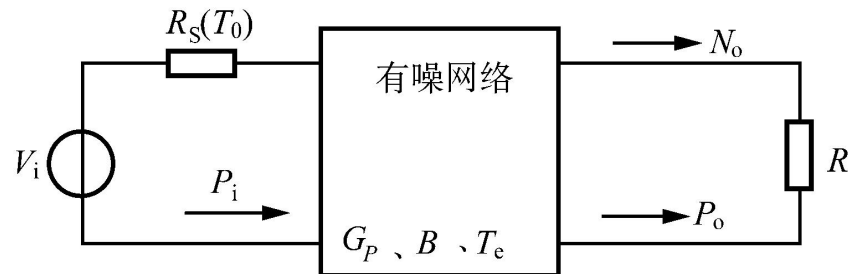
有噪网络输出噪声和等效噪声温度的关系  $N_{\text{inner}} = kT_e B G_P$



放大器、混频器  $\longrightarrow$  噪声系数  
天线、接收机  $\longrightarrow$  等效噪声温度

## 2.4.2 等效噪声温度与噪声系数的关系

已知条件： 网络带宽  $B$   $G_P$   $T_e$   
源端匹配  $P_i$   $T_0$



信号源输入噪声为：  $N_i = kT_0B$

设网络为无噪，总输入噪声为  $N_{i总} = k(T_0 + T_e)B$

总输出噪声为  $N_o = G_P k(T_0 + T_e)B$

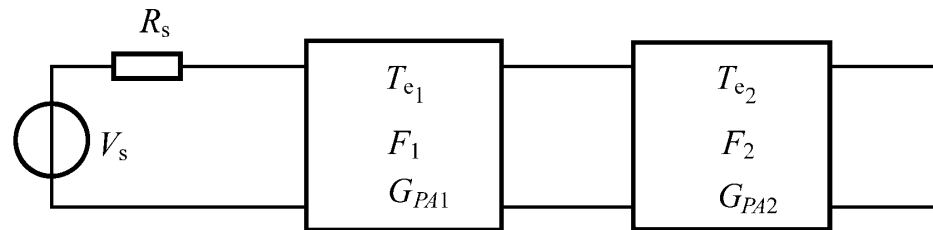
由噪声系数定义 
$$F = \frac{P_i / N_i}{P_o / N_o} = \frac{P_i / kT_0B}{G_P P_i / G_P k(T_0 + T_e)B} = 1 + \frac{T_e}{T_0}$$

或 
$$T_e = (F - 1)T_0$$

## 2.5 多级线性网络级联的噪声系数

已知；各级间均匹配，带宽均为 $B$ ，额定功率增益、噪声系数，等效噪声温度

求：总噪声系数 $F$ 、等效噪声温度 $T_e$



第一级输入噪声功率  $N_i = kT_0B$

第一级的输出噪声功率是  $N_1 = G_{PA1}kT_0B + G_{PA1}kT_{e1}B$

第二级输出噪声功率是：

$$N_o = G_{PA2}N_1 + G_{PA2}kT_{e2}B = G_{PA1}G_{PA2}kB\left(T_0 + T_{e1} + \frac{T_{e2}}{G_{PA1}}\right)$$

两级总的输出噪声功率又可表示为

$$N_o = G_{PA1}G_{PA2}kB(T_0 + T_e)$$

相等

所以

$$T_e = T_{e1} + \frac{T_{e2}}{G_{PA1}} \qquad F = F_1 + \frac{F_2 - 1}{G_{PA1}}$$

## 多级线性网络级联总噪声系数（Friiss方程）

$$F = F_1 + \frac{F_2 - 1}{G_{P1}} + \frac{F_3 - 1}{G_{P1}G_{P2}} + \dots$$

$$T_e = T_{e1} + \frac{T_{e2}}{G_{P1}} + \frac{T_{e3}}{G_{P1}G_{P2}} + \dots$$

结论：

1. 系统前级、特别是第一级的噪声系数对系统影响最大
2. 增大第一级的增益可以减少后级对系统噪声系数的影响

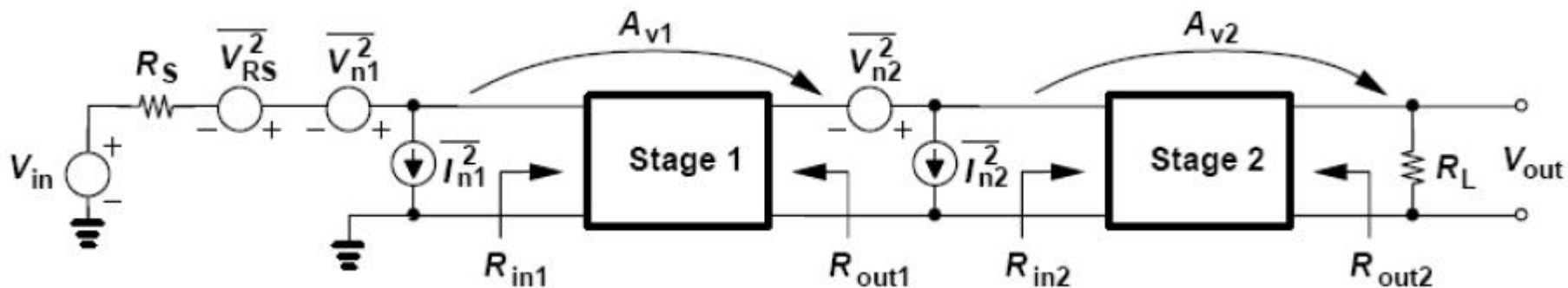
❖ 网络级联的噪声系数推导

❖ 已知每一级的NF和电压增益

❖ 级间阻抗不匹配

❖  $A_{v1}$ 和 $A_{v2}$ 表示两级的无负载电压增益

❖ 采用电压增益的形式表示级联噪声系数（参考《射频微电子》）



## 第二章 RF设计中的基本概念

---

- 噪声
- 非线性
  - 非线性器件的描述方法
  - 器件非线性的影响
  - 多级非线性级联特性
  - 非线性器件在频谱搬移中的应用
- 灵敏度
- 动态范围
- 码间干扰

## 2.6 非线性器件的描述方法

---

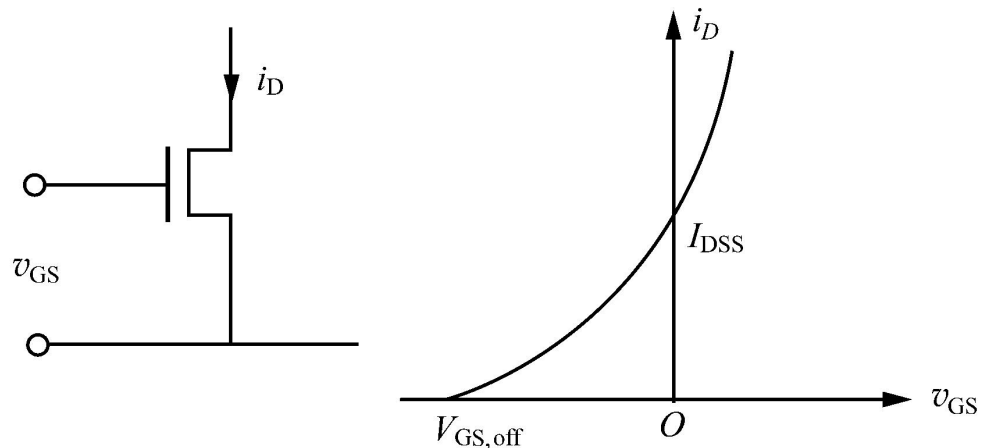
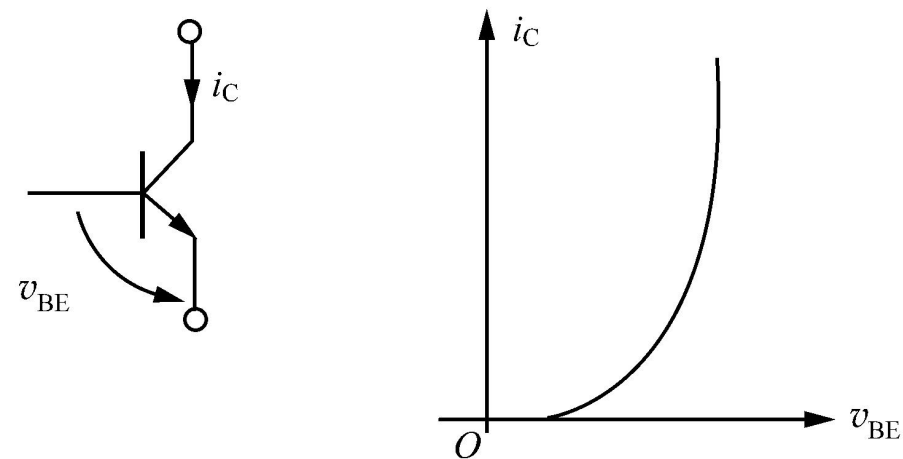
- 非线性器件
  - 大信号时会引起失真
  - 能完成频谱搬移各种功能
- 非线性器件的描述方法
  - 用解析函数描述器件的伏安特性
  - 将器件的伏安特性在其工作点处用幂级数展开
  - 当输入信号较大时，用分段折线来描述器件的非线性

## 2.6.1 非线性器件的描述方法

### 解析函数描述:

双极型晶体管:

场效应管:



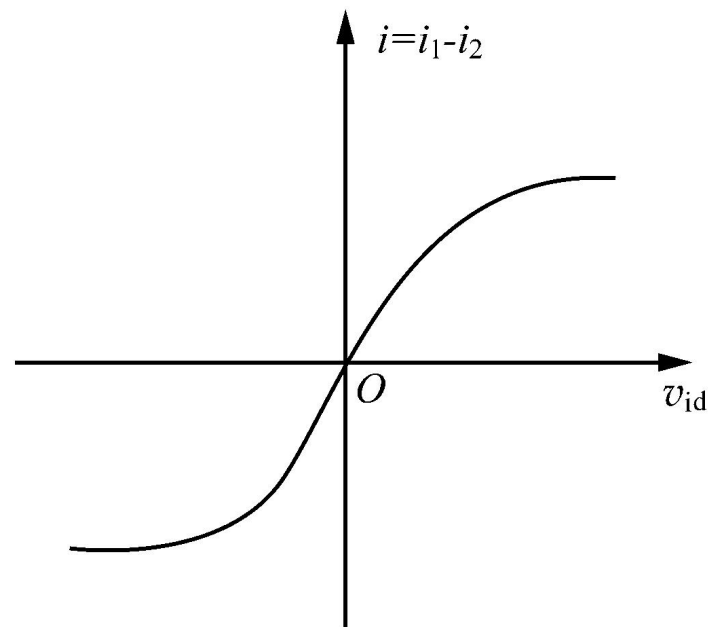
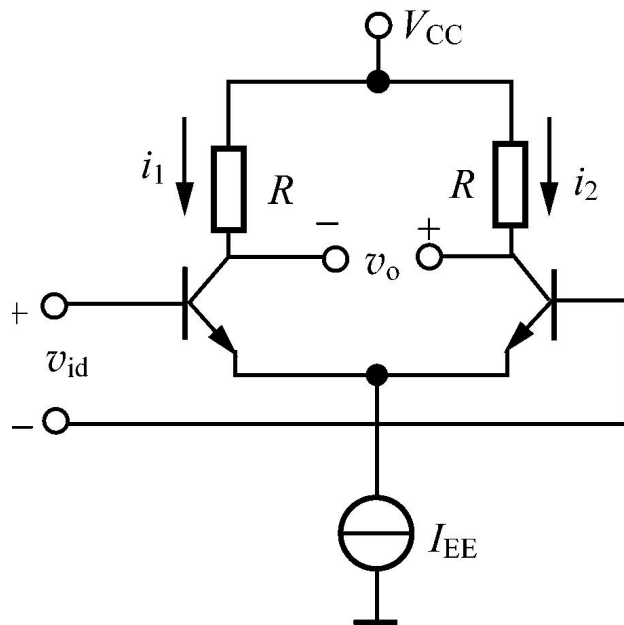
指数函数:  $i_c \approx I_S e^{\frac{q}{KT} v_{BE}}$

平方关系:

$$i_D = I_{DSS} \left(1 - \frac{v_{GS}}{V_{GS,th}}\right)^2$$

(饱和区)

## 差分放大器:



双曲正切函数: 
$$i = i_1 - i_2 = I_0 \operatorname{th} \frac{q}{2KT} v_{id}$$

# 幂级数描述:

偏置  $V_{BEQ}$   $\longrightarrow$  决定工作点  $\longrightarrow$

将  $i_c \approx I_S e^{\frac{q}{KT}(V_{BEQ} + v_i)}$  展开为幂级数

$$i_c = a_0 + a_1(v_{BE} - V_{BEQ}) + a_2(v_{BE} - V_{BEQ})^2 + a_3(v_{BE} - V_{BEQ})^3 + \dots$$

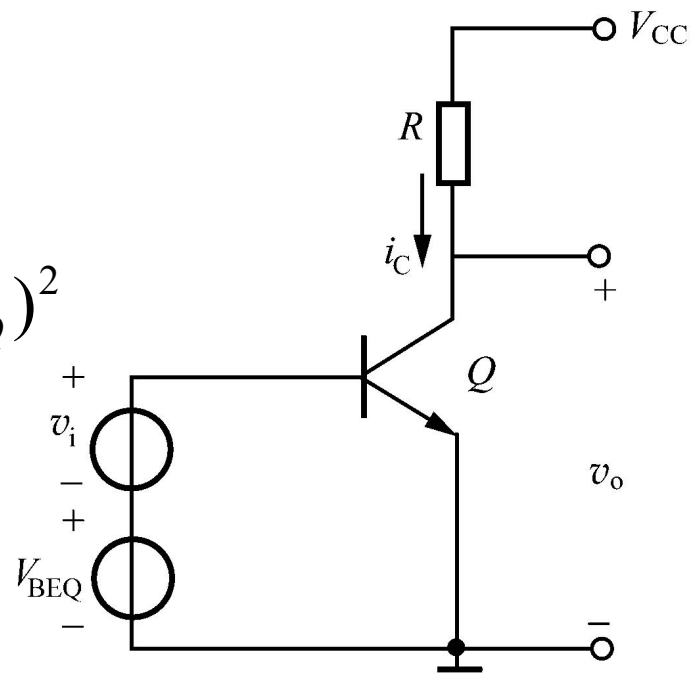
代入  $v_{BE} = v_i + V_{BEQ}$

$$i_c = a_0 + a_1 v_i + a_2 v_i^2 + a_3 v_i^3 + \dots + a_N v_i^N + \dots$$

特点: ①  $i_c \sim v_i$  呈非线性

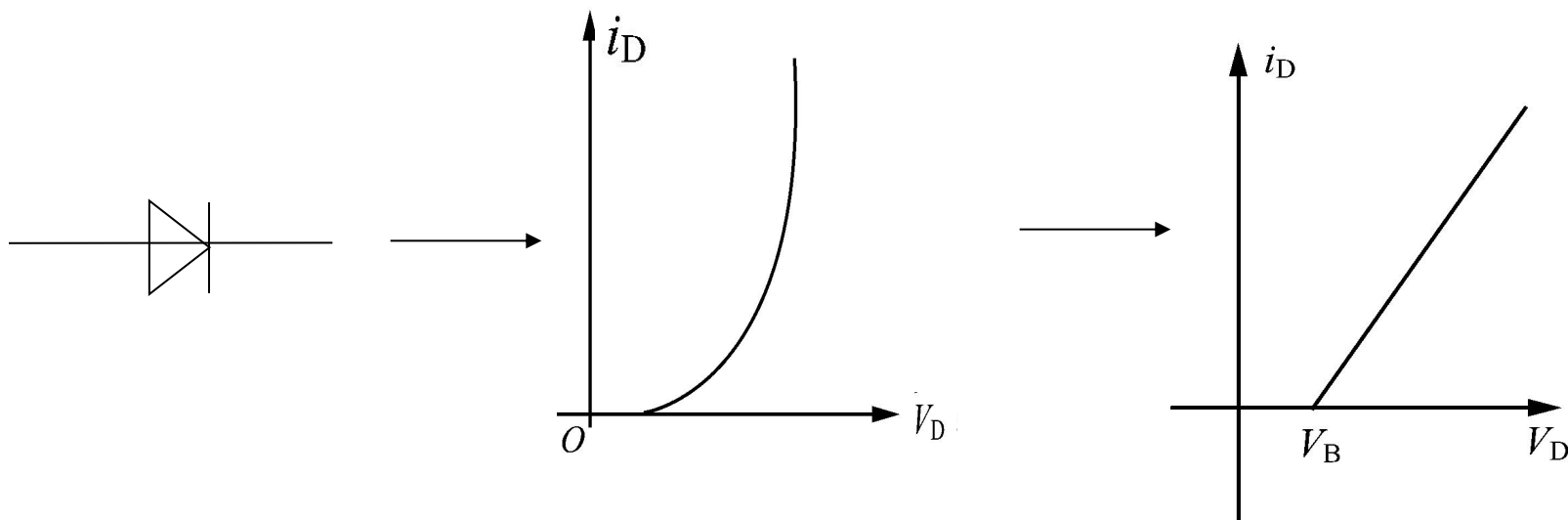
② 系数与工作点有关

$$a_N = \frac{1}{N!} \times \left. \frac{\partial^{(n)} i_c}{\partial v_{BE}^{(n)}} \right|_{v_{BE} = V_{BEQ}}$$



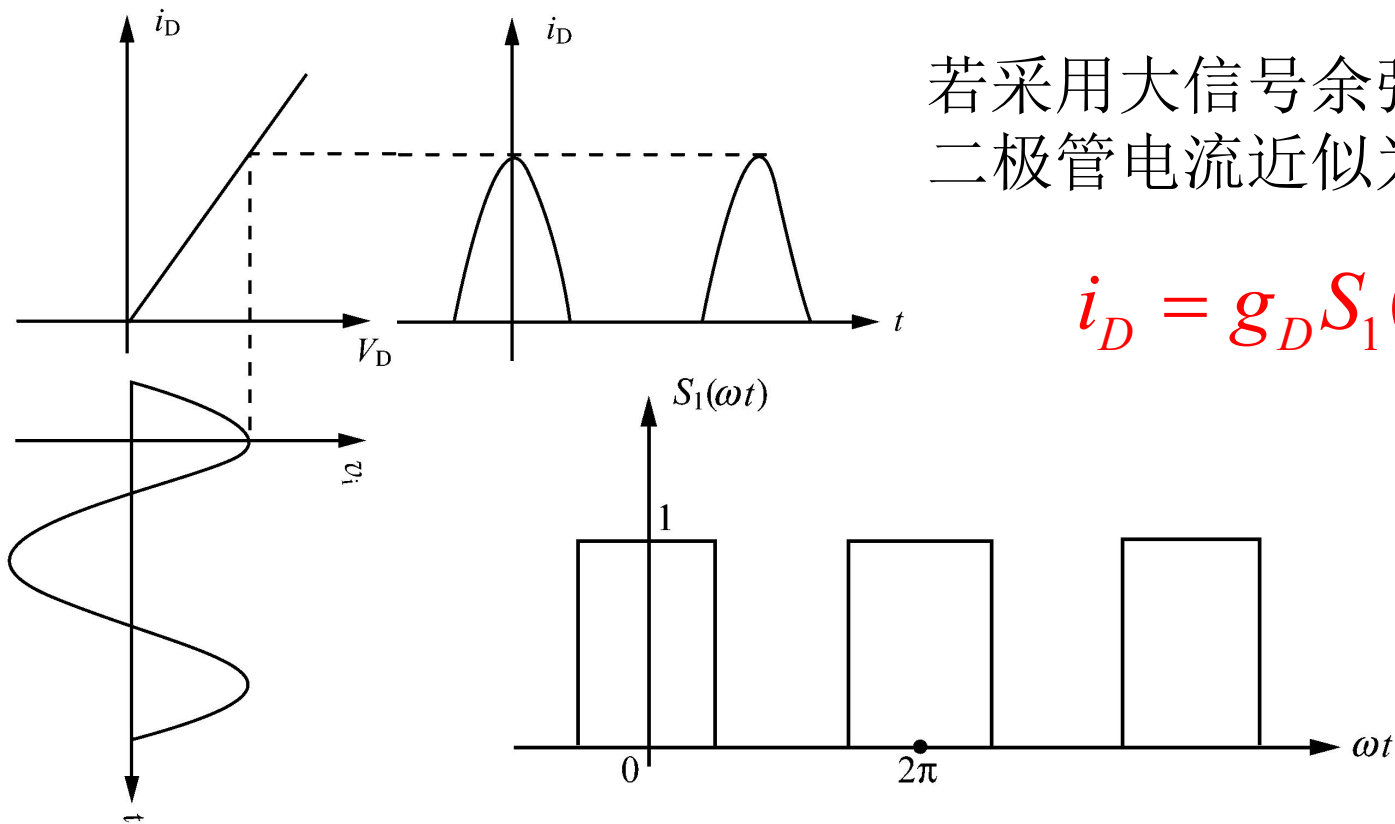
# 分段折线描述:

- 适用条件: 大信号输入
- 以二极管为例, 传输曲线近似:



$$i_D = \begin{cases} g_D v_D & (v_D > V_B) \\ 0 & (v_D \leq V_B) \end{cases}$$

# 单向开关函数:

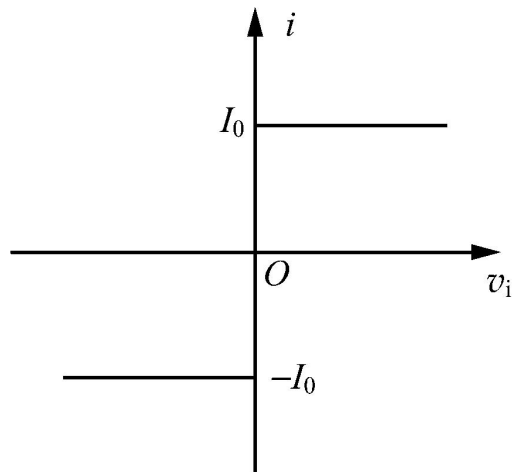
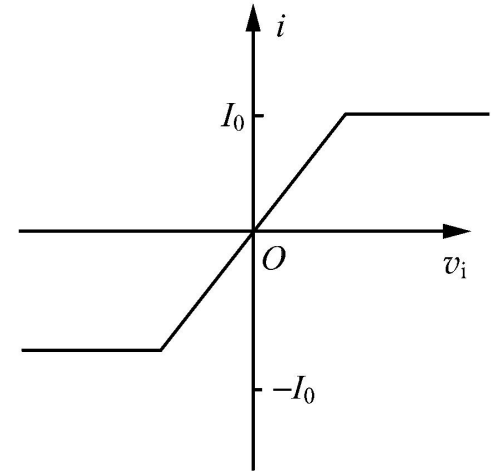
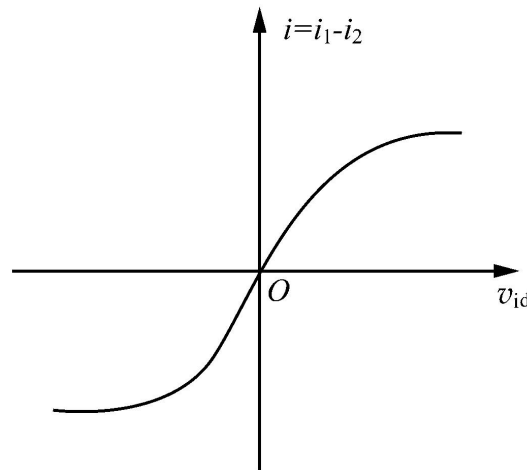
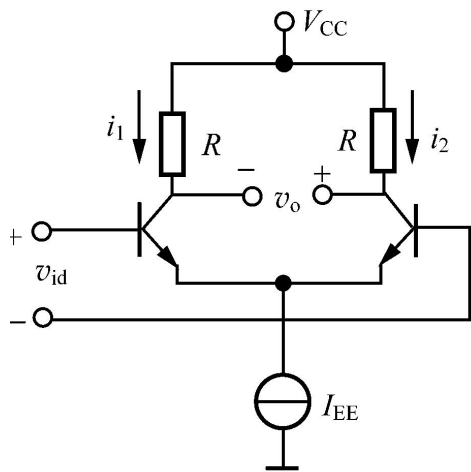


若采用大信号余弦电压激励，  
二极管电流近似为：

$$i_D = g_D S_1(\omega t) v_D$$

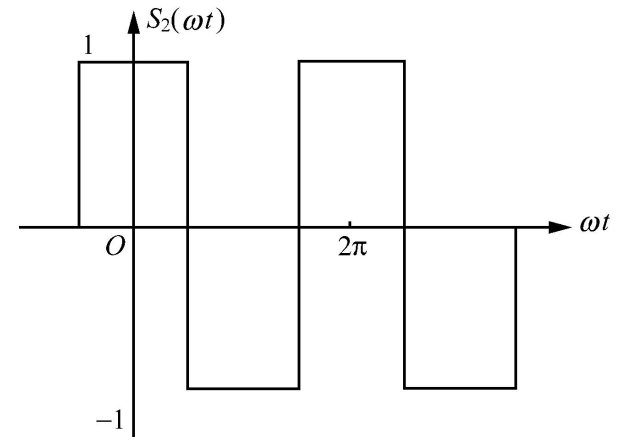
$$S_1(\omega t) = \frac{1}{2} + \frac{2}{\pi} \cos \omega t - \frac{2}{3\pi} \cos 3\omega t + \frac{2}{5\pi} \cos 5\omega t \dots\dots$$

# 双向开关函数（以差分放大器为例）：



$$i = \begin{cases} I_0 & (v_i > 0) \\ -I_0 & (v_i \leq 0) \end{cases}$$

$$i = I_0 S_2(\omega t)$$

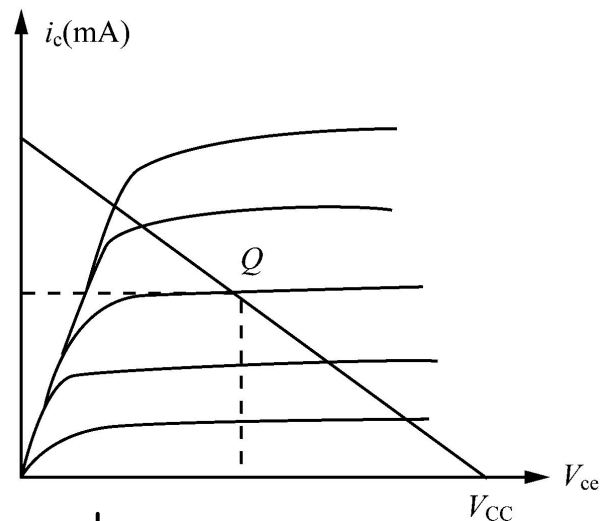
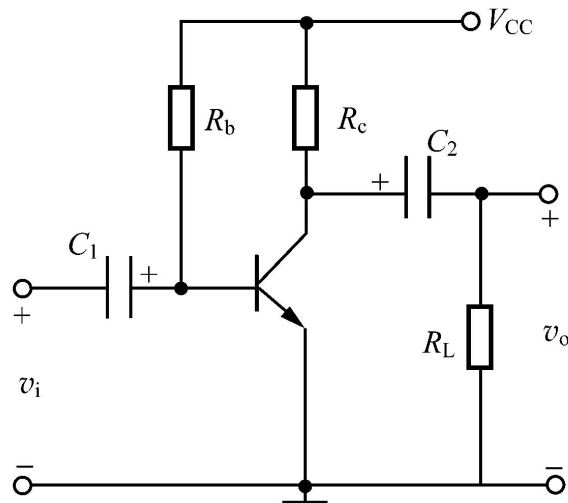


$$S_2(\omega t) = S_1(\omega t) - S_1(\omega t + \pi) = \frac{4}{\pi} \cos \omega t - \frac{4}{3\pi} \cos 3\omega t + \frac{4}{5\pi} \cos 5\omega t \dots\dots$$

## 2.6.2 线性化参数

- 适用条件:

- 输入为小信号



- 线性化参数

- 跨导（仅与工作点有关，与信号无关）

$$a_1 = \left. \frac{di_c}{dv_{be}} \right|_{v_{be}=V_{BEQ}} = g_m$$

- 线性的含义:

- 输出仅含有与输入同频的信号，不产生新的频率分量
- 放大器线性工作时，电压增益为  $g_m * R_L$

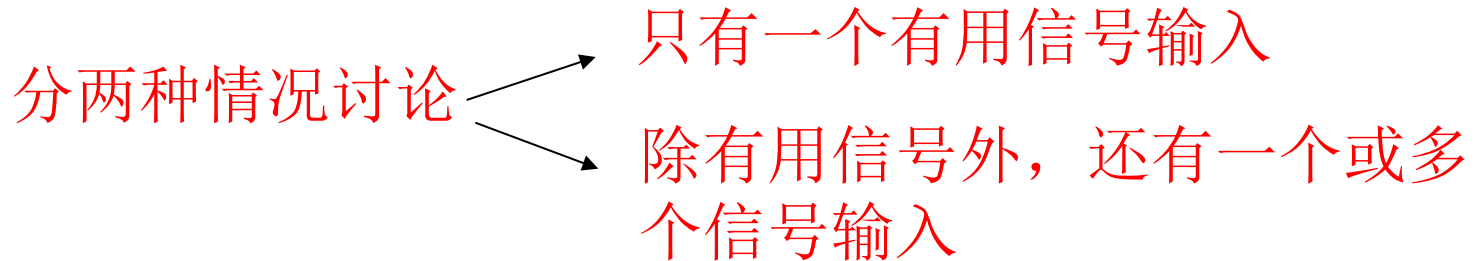
表 2.6.1 常用基本放大器的非线性展开式、线性范围与跨导

名称	伏安特性公式	信号电流展开式	线性范围	线性跨导
晶体管放大器	$i_c = I_{CQ} e^{\frac{v_s}{V_T}}$	$i_s = \frac{I_{CQ}}{V_T} v_s + \frac{I_{CQ}}{2} \frac{v_s^2}{V_T^2} + \frac{I_{CQ}}{6} \frac{v_s^3}{V_T^3} + \dots$	$V_{sm} \leq 2.6\text{mV}$	$I_{CQ}/V_T$
FET放大器	$i_D = I_{DSS} \left(1 - \frac{v_{GS}}{V_{th}}\right)^2$	$i_s = \frac{I_{DSS}}{V_{th}^2} \times [2(V_{GSQ} - V_{th})v_s + v_s^2]$	$V_{sm} \leq \frac{1}{10}(V_{GSQ} - V_{th})$	$\frac{2I_D}{V_{GSQ} - V_{th}}$
BJT差分放大器	$i_o = I_{EE} \text{th} \frac{v_{id}}{2V_T}$	$i_s = I_{EE} \left( \frac{v_{id}}{2V_T} - \frac{1}{3} \left( \frac{v_{id}}{2V_T} \right)^3 + \frac{1}{5} \left( \frac{v_{id}}{2V_T} \right)^5 \right)$	$V_{id} \leq V_T = 26\text{mV}$	$\frac{I_{FE}}{2V_T}$
FET差分放大器	$i_o = \frac{I_{SS} v_{id}}{V_{GSQ} - V_{th}} \sqrt{1 - \left( \frac{v_{id}}{2(V_{GSQ} - V_{th})} \right)^2}$		$V_{id} \leq 0.1(V_{GSQ} - V_{th})$	$\frac{I_{SS}}{V_{GSQ} - V_{th}}$

## 2.7 器件非线性影响

---

研究有源器件的非线性对线性放大器的影响



研究内容——出现的现象、名称定义；  
衡量性能的指标。

## 2.7.1 输入端仅有一个有用信号--谐波

放大器输入

$$v_i(t) = V_{im} \cos \omega_i t$$

$$v_{be} = V_{BEQ} + v_i$$

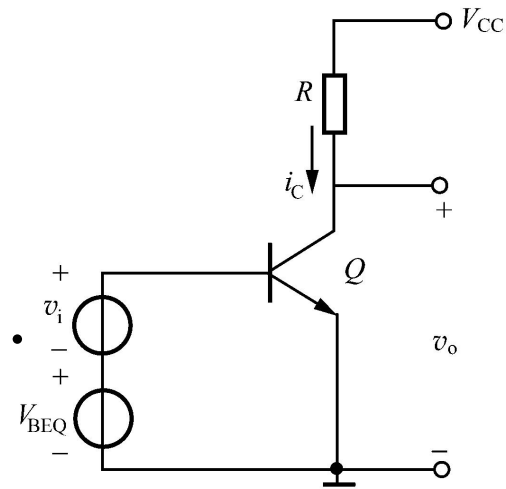
当输入信号幅度较大时

$$i_c = a_0 + a_1 v_i + a_2 v_i^2 + a_3 v_i^3 + \dots + a_N v_i^N + \dots$$

则

$$i_s(t) = a_1 V_{im} \cos \omega_i t + a_2 V_{im}^2 \cos^2 \omega_i t + a_3 V_{im}^3 \cos^3 \omega_i t + \dots$$

$$= \frac{a_2 V_{im}^2}{2} + (a_1 V_{im} + \frac{3}{4} a_3 V_{im}^3) \cos \omega_i t + \frac{a_2}{2} V_{im}^2 \cos 2\omega_i t + \frac{a_3}{4} V_{im}^3 \cos 3\omega_i t + \dots$$



在较大输入信号时，由于器件的非线性产生了谐波

---

## • 结论:

- 基波分量由各奇次项产生，二次谐波由二次及二次以上的偶次项产生，三次谐波由三次及三次以上的奇次项产生。。。。。
- N次谐波的幅度正比于  $\alpha_N$  及  $V_{im}^N$ ， $N \uparrow, \alpha_N \downarrow$ ，当输入信号的幅度  $V_{im}$  较小时， $V_{im}^N$  也小，因此可忽略高次谐波。
- 高次谐波可被**滤波器**滤除。

## 2.7.1 输入端仅有一个有用信号--增益压缩

- 前提：信号增大，高次项不能忽略时，研究非线性对基波信号的影响。

输出电流：
$$i_c = a_0 + a_1 v_i + a_2 v_i^2 + a_3 v_i^3 + \cdots + a_N v_i^N + \cdots$$

基波信号电流：
$$i_{S1} = (a_1 V_{im} + \frac{3}{4} a_3 V_{im}^3) \cos \omega_i t = (a_1 + \frac{3}{4} a_3 V_{im}^2) v_i(t)$$

基波信号电流幅度：
$$I_{S1} = a_1 V_{im} + \frac{3}{4} a_3 V_{im}^3$$

平均跨导：

基波信号电流：

增益：

$$\bar{g}_m = \frac{I_{S1}}{V_{1m}} = a_1 + \frac{3}{4} a_3 V_{im}^2$$

$$i_{S1} = \bar{g}_m V_{im} \cos \omega_i t$$

$$A_v = (a_1 + \frac{3}{4} a_3 V_{im}^2) R_L$$

# 线性与非线性特性比较

	线性	非线性
基波电流	$i_{S1} = a_1 V_{im} \cos \omega_i t$	$i_{S1} = (a_1 + \frac{3}{4} a_3 V_{im}^2) V_{im} \cos \omega_i t$
跨导	$a_1 = \left. \frac{di_c}{dv_{be}} \right _{v_{be}=V_{BEQ}} = g_m$	$\bar{g}_m = \frac{I_{S1}}{V_{1m}} = a_1 + \frac{3}{4} a_3 V_{im}^2$
跨导特性	仅与放大器 <b>工作点</b> 有关	与 <b>工作点</b> 、 <b>输入信号幅度</b> 均有关
增益	$A_v = g_m R_L$	$A_v = \bar{g}_m R_L = (a_1 + \frac{3}{4} a_3 V_{im}^2) R_L$
增益特性	常数	与输入信号幅度有关

# 增益压缩 (gain compression)

$$A_V = \left( a_1 + \frac{3}{4} a_3 V_{im}^2 \right) R_L$$

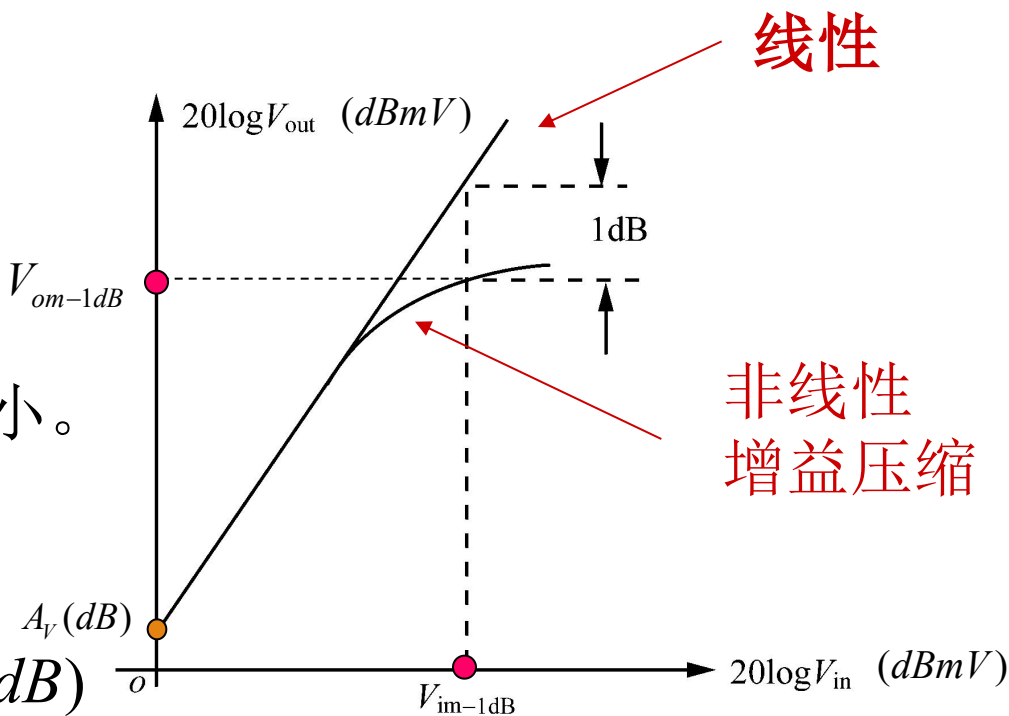
当  $a_3 < 0$  时，  
放大器增益随信号增大而减小。

线性增益

$$V_{out} (dBmV) = V_{in} (dBmV) + A_V (dB)$$

增益压缩指标 — 1dB压缩点

$$V_{out-1dB} (dBmV) = V_{in-1dB} (dBmV) + A_V (dB) - 1$$



增益1dB压缩点计算:

$$20 \log | a_1 + \frac{3}{4} a_3 V_{im-1dB}^2 | = 20 \log | a_1 | - 1dB$$

$$V_{im-1dB} = \sqrt{0.145 \left| \frac{a_1}{a_3} \right|}$$

$V_{im-1dB}$  与器件类型和放大器工作点有关

## 2.7.2 输入端有两个以上信号

- 器件的非线性会引起多个信号间的相互作用而造成干扰

设输入两个信号：
$$v_i(t) = V_{1m} \cos \omega_1 t + V_{2m} \cos \omega_2 t$$

由于非线性 
$$i_c = a_0 + a_1 v_i + a_2 v_i^2 + a_3 v_i^3 + \cdots + a_N v_i^N + \cdots$$

- 产生的频率分量包括：

- 1.  $\omega_1$ 、 $\omega_2$       基波
  - 2.  $p\omega_1$ 、 $q\omega_2$       谐波
  - 3.  $\omega_1 + \omega_2$ 、 $\omega_1 - \omega_2$
  - 4.  $2\omega_1 + \omega_2$ 、 $2\omega_1 - \omega_2$
  - 5.  $2\omega_2 + \omega_1$ 、 $2\omega_2 - \omega_1$
- } 组合频率

基波分量:

(仅考虑到三次方)

$$i = (a_1 V_{1m} + \frac{3}{4} a_3 V_{1m}^3 + \frac{3}{2} a_3 V_{1m} V_{2m}^2) \cos \omega_1 t$$

$$(a_1 V_{2m} + \frac{3}{4} a_3 V_{2m}^3 + \frac{3}{2} a_3 V_{2m} V_{1m}^2) \cos \omega_2 t$$

二次方产生的组合频率

$$a_2 V_{1m} V_{2m} \cos(\omega_1 + \omega_2)t + a_2 V_{1m} V_{2m} \cos(\omega_1 - \omega_2)t$$

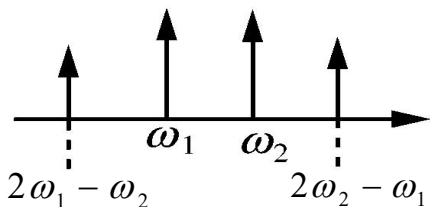
三次方项产生的组合频率为

不在基频附近, 被滤除

在基频附近

$$\frac{3a_3 V_{1m}^2 V_{2m}}{4} \cos(2\omega_1 - \omega_2)t + \frac{3a_3 V_{1m}^2 V_{2m}}{4} \cos(2\omega_1 + \omega_2)t$$

$$\frac{3a_3 V_{1m} V_{2m}^2}{4} \cos(2\omega_2 - \omega_1)t + \frac{3a_3 V_{1m} V_{2m}^2}{4} \cos(2\omega_2 + \omega_1)t$$



# A. 堵塞 (Blocking)

输入状况：输入的有用信号  $\omega_1$  为弱信号，  
而另一个信号  $\omega_2$  是强干扰信号。

$$\begin{array}{l} \searrow \\ \nearrow \end{array} V_{1m} \ll V_{2m}$$

有用信号基波 
$$i = (a_1 V_{1m} + \frac{3}{4} a_3 V_{1m}^3 + \frac{3}{2} a_3 V_{1m} V_{2m}^2) \cos \omega_1 t$$

简化（忽略增益压缩项）  
$$i = (a_1 + \frac{3}{2} a_3 V_{2m}^2) V_{1m} \cos \omega_1 t$$

平均基波跨导 
$$\bar{g}_m = a_1 + \frac{3}{2} a_3 V_{2m}^2$$

一般有  $a_3 < 0$   $\longrightarrow$  有用信号的跨导随干扰增大而减小  
 $\longrightarrow$  增益随干扰信号增大而减小，甚至趋于零，称为堵塞

**抗强信号堵塞：重要指标**，一般要求引起射频接收机堵塞的强信号比有用信号大60dB~70dB。

## B. 交叉调制 (Cross Modulation)

输入状况: ① 输入的有用信号  $\omega_1$  为弱信号,  $V_{1m} \ll V_{2m}$   
而另一个信号  $\omega_2$  是强干扰信号。

② 强干扰是调幅波  $v_2 = \underbrace{V_{2m} (1 + m \cos \Omega t)}_{\text{幅度}} \cos \omega_2 t$

则输出有用信号基波  $i = (a_1 + \frac{3}{2} a_3 V_{2m}^2) V_{1m} \cos \omega_1 t$

$$i(t) \approx \underbrace{[a_1 V_{1m} + \frac{3}{2} a_3 V_{1m} V_{2m}^2 (1 + m \cos \Omega t)^2]}_{\text{有用信号幅度}} \cos \omega_1 t$$

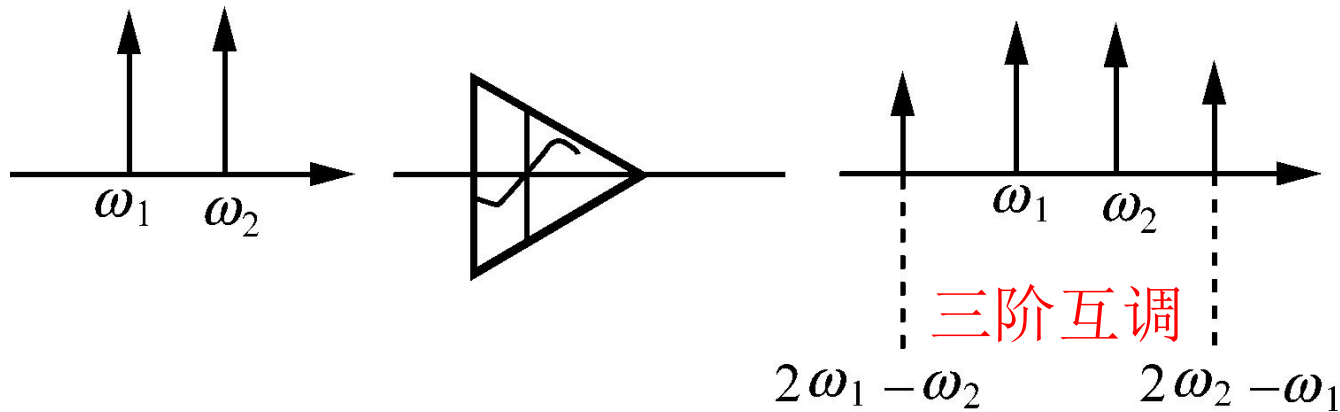
↑ 干扰信号幅度

结果: 干扰信号幅度调制信息转移到有用信号幅度上。如果: 当有用信号是调幅波时, 解调后, 会听到干扰台的串话音

## C. 互相调制 (Intermodulation)

输入状况： 两个输入信号的频率非常接近

则输出电流：
$$i \approx (a_1 + \frac{9}{4}a_3V_m^2)V_m \cos \omega_1 t + (a_1 + \frac{9}{4}a_3V_m^2)V_m \cos \omega_2 t + \frac{3a_3V_m^3}{4} \cos (2\omega_1 - \omega_2)t + \frac{3}{4}a_3V_m^3 \cos (2\omega_2 - \omega_1)t + \dots$$



特点：

组合频率  $2\omega_2 - \omega_1$ 、 $2\omega_1 - \omega_2$  很接近基波，滤波器无法滤除

- 
- 这种干扰并不是由于两输入信号的谐波产生，而是由这两个输入信号的相互调制（相乘）引起的，称为互调失真。
    - 由三次方项引起的互调称为三阶互调。
    - 由五次方项引起的互调称为五阶互调。
    - ○ ○ ○ ○ ○ ○
  - 衡量互调失真的指标
    - 互调失真比
    - 三阶互调截点

# 衡量互调失真的指标 I

- 互调失真比（IMR）定义：在输入信号幅度  $V_m$  下，三阶互调分量的幅度与基波幅度之比。

设：两信号输入幅度均为  $V_m$

输出基波： $(a_1 + \frac{9}{4}a_3V_m^2)V_m \cos \omega_1 t$     输出互调： $\frac{3a_3V_m^3}{4} \cos(2\omega_1 - \omega_2)t$

设  $a_1 \gg \frac{9}{4}a_3V_m^2$  （即输入信号较小，可忽略增益压缩）

互调失真电压幅度比：

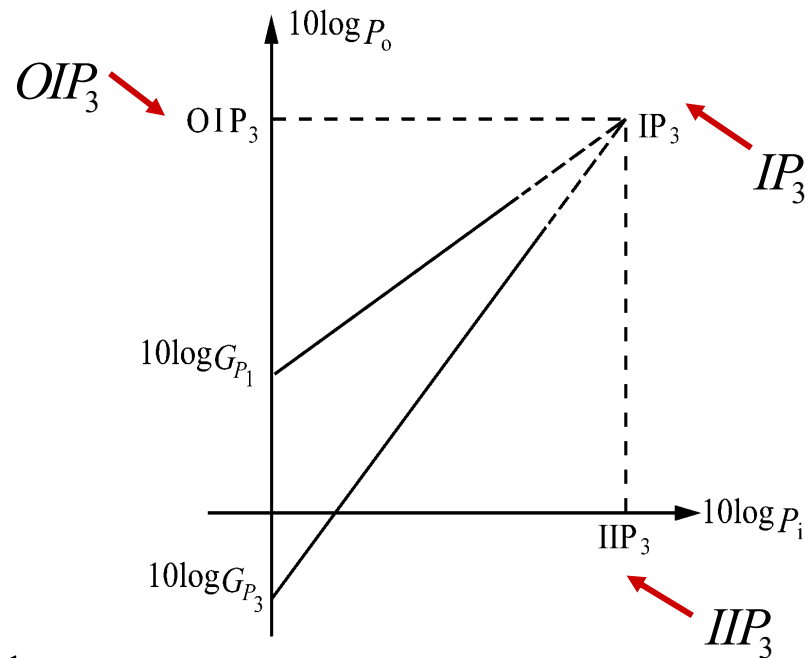
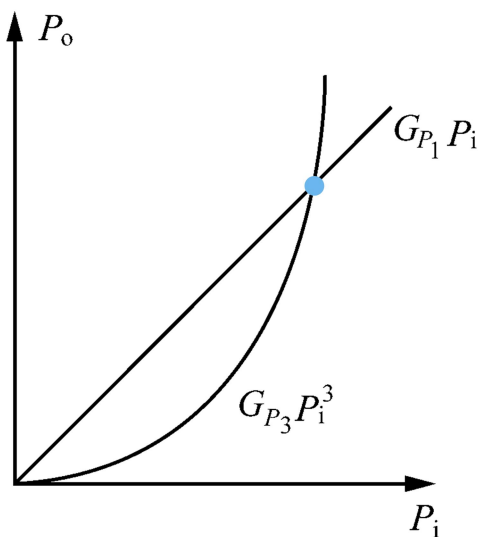
互调失真功率比：

$$IMR = \frac{\frac{3}{4}a_3V_m^3}{a_1V_m} = \frac{3}{4} \frac{a_3}{a_1} V_m^2$$

$$P_{IMR} = \frac{\frac{1}{2}(\frac{3}{4}a_3V_m^3)^2}{\frac{1}{2}(a_1V_m)^2} = (IMR)^2$$

# 衡量互调失真的指标 II

- 三阶互调截点  $IP_3$  (third-order intercept point) 定义: 三阶互调功率达到和基波功率相等的点。



$$P_{01} = \frac{1}{2} (a_1 V_m)^2 = G_{p1} P_i \quad G_{P_1} > 1$$

$$P_{01} (dB) = 10 \log G_{p1} + 10 \log P_i$$

$$P_{03} = \frac{1}{2} \left( \frac{3}{4} a_3 V_m^3 \right)^2 = G_{p3} P_i^3 \quad G_{P_3} < 1$$

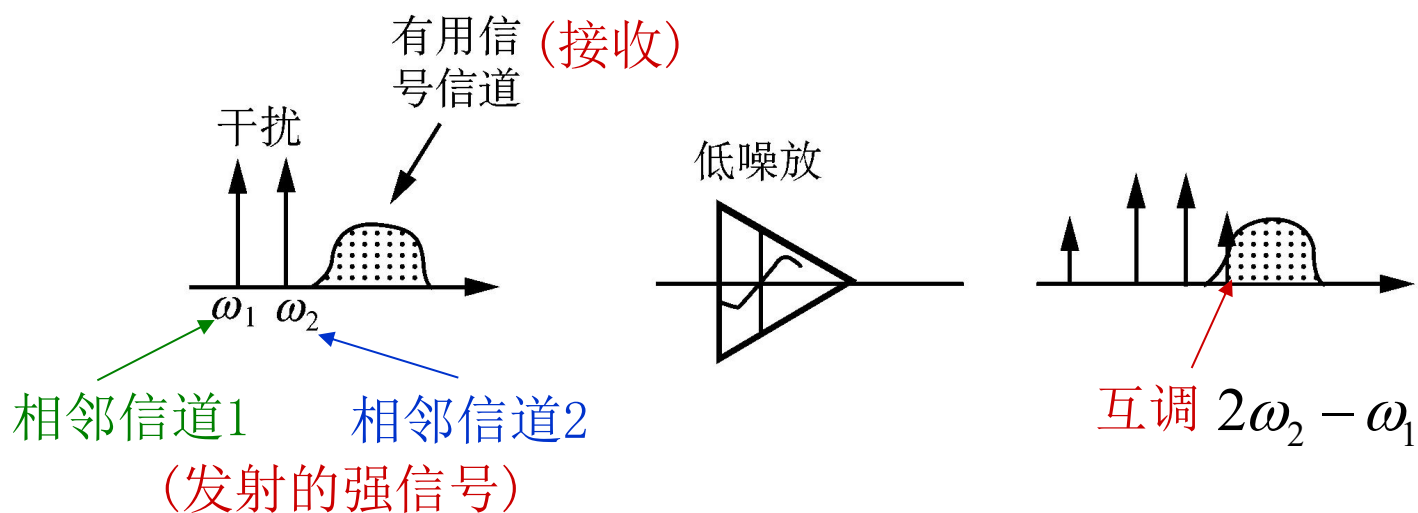
$$P_{03} (dB) = 10 \log G_{p3} + 30 \log P_i$$

---

由三阶互调截点定义  $P_{o1} = P_{o3}$

则三阶互调截点：
$$V_{mIP_3} \approx \sqrt{\frac{4}{3} \left| \frac{a_1}{a_3} \right|}$$

# 互调干扰在射频系统中出现的形式



- 1dB压缩点&三阶互调截点？

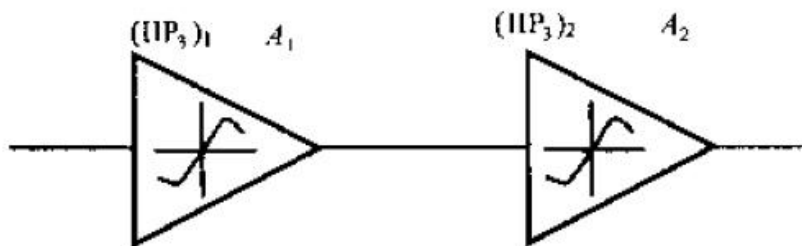
- 均由非线性器件的三次方项引起

$$V_{im-1dB} = \sqrt{0.145 \left| \frac{a_1}{a_3} \right|}$$
$$V_{imIP3} = \sqrt{\frac{4}{3} \left| \frac{a_1}{a_3} \right|}$$
$$\frac{V_{im-1dB}}{V_{imIP3}} = \sqrt{\frac{0.145}{4/3}} \approx -9.6dB$$

即增益压缩点的输入（或输出）电平要比三阶互调截点电平低9.6dB

## 2.7.3 多级非线性级联特性

- 总的三阶截点和每级的增益及二阶截点之间的关系如何？



两级公式：

$$\frac{1}{IIP_3} \approx \frac{1}{(IIP_3)_1} + \frac{A_1^2}{(IIP_3)_2}$$

理解：

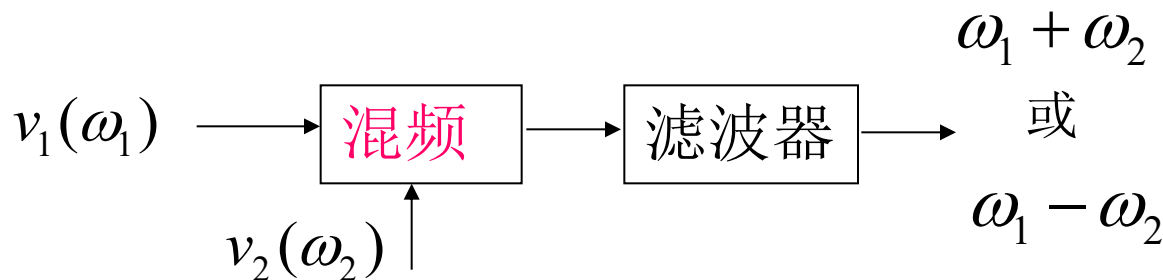
- 当系统的每一级均有增益时，系统的总的三阶互调截点输入功率总是小于每一级的  $IIP_3$
- 前级的增益越高，总系统的三阶互调输入功率越小
- 由于进入后级的输入信号是经过前面各级的放大，因此要求后级的线性范围也更大。

## 2.8 非线性器件在频谱搬移中的应用

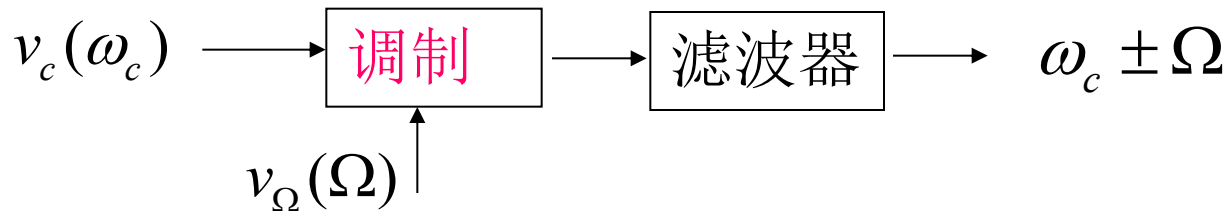


什么是频谱搬移？

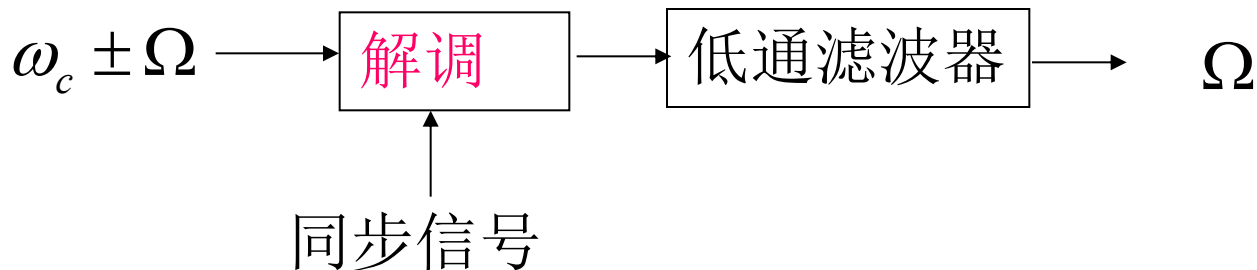
1. 两信号混频



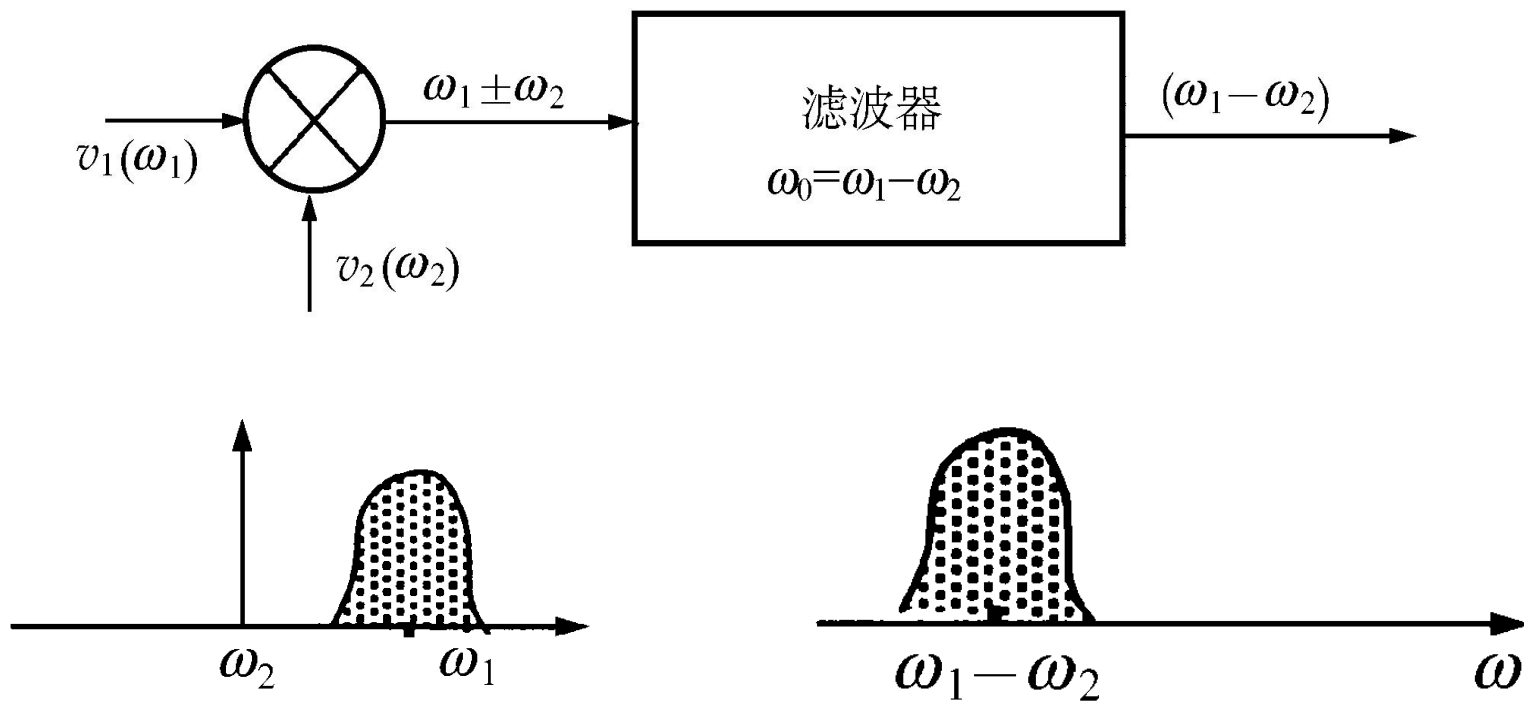
2. 调制



3. 解调



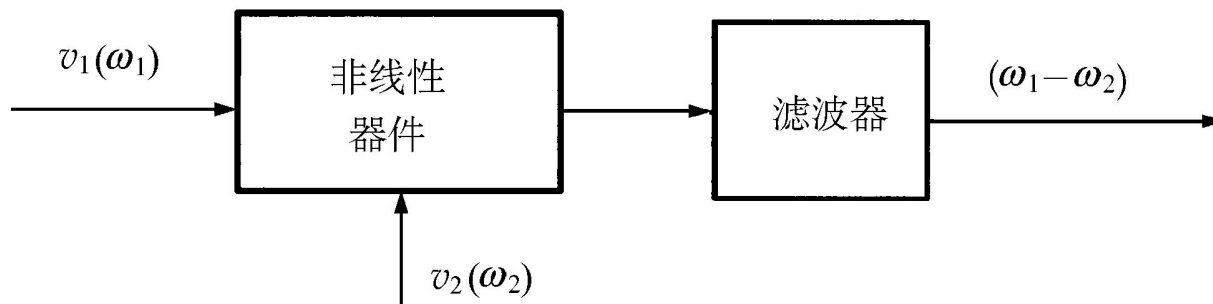
## 理想的频谱搬移电路——乘法器



## 非线性器件实现频谱搬移

非线性器件的二次方项就可实现两信号的相乘

$$\begin{aligned} a_2(v_1 + v_2)^2 &= a_2(V_{1m} \cos \omega_1 t + V_{2m} \cos \omega_2 t)^2 \\ &= \frac{a_2}{2} V_{1m} V_{2m} [\cos(\omega_2 + \omega_1) + \cos(\omega_2 - \omega_1)t] + \dots \end{aligned}$$



## 存在问题:

由于  $i = a_0 + a_1 v_i + a_2 v_i^2 + a_3 v_i^3 + \cdots + a_N v_i^N + \cdots$

其中  $v_i = v_1 + v_2$

三次方及三次方以上的各高次方项产生的组合频率

$|\pm p\omega_1 \pm q\omega_2|$  ( $p + q \geq 3$ ) 对频谱搬移来说都是干扰

## 解决方法:

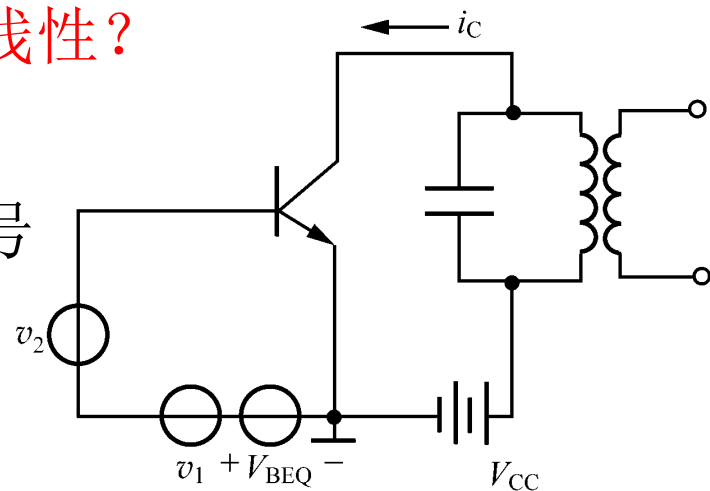
- (1) 从器件的特性考虑 —— 采用平方律特性——无高次项
- (2) 从电路考虑 —— 采用平衡电路结构形式 —— 抵消干扰
- (3) 从输入电压的大小考虑, 采用线性时变工作状态

线性时变工作状态  $\begin{cases} \rightarrow \text{对什么而言是线性?} \\ \rightarrow \text{什么是时变?} \end{cases}$

工作条件：一个是小信号，一个是小信号

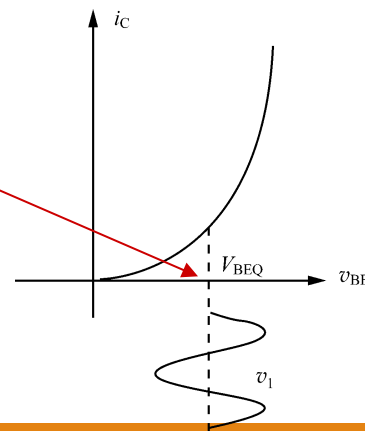
$$v_1(t) = V_{1m} \cos \omega_1 t$$

$$v_2(t) = V_{2m} \cos \omega_2 t \quad V_{1m} \gg V_{2m}$$



静态偏置  $V_{BEQ}$   $\rightarrow$  时变偏置  $V_{BEQ}(t) = V_{BEQ} + v_1(t)$  时变偏置  
 大信号  $v_1(t)$   $\rightarrow$  时变偏置  
 $\rightarrow$  时变工作点

$\rightarrow i_c$  在时变工作点展开



## $i_c$ 在时变工作点展开

时变偏置

小信号

$$i_c(t) = a_0 + a_1(v_{be} - V_{BEQ}(t)) + a_2(v_{be} - V_{BEQ}(t))^2 + a_3(v_{be} - V_{BEQ}(t))^3 + \dots$$

代入:  $v_{be} = V_{BEQ} + v_1(t) + v_2(t) = V_{BEQ}(t) + v_2(t)$

得:  $i_c(t) = a_0 + a_1 v_2 + a_2 v_2^2 + a_3 v_2^3 + \dots$

现工作点是随  $v_1(t)$  时变的, 所以  $a_i$  也是随  $v_1(t)$  时变的

$$i_c(t) = a_0(t) + a_1(t)v_2 + a_2(t)v_2^2 + a_3(t)v_2^3 + \dots$$

时变的含义:

展开项的系数  $a_i$  大信号变化

$a_i$  的变化频率与大信号  $v_1(t)$  的频率  $\omega_1$  相同

## 最重要的两个系数:

$$a_0(t) = i_c(t) \Big|_{v_{be}=V_{BEQ}(t)} \stackrel{\Delta}{=} I_0(t) \quad \text{时变静态电流}$$

(静态——与小信号  $v_2(t)$  无关)

$$a_1(t) = \frac{di_c}{dv_{be}} \Big|_{v_{be}=V_{BEQ}(t)} \stackrel{\Delta}{=} g_m(t) \quad \text{时变跨导}$$

将输入信号  $v_2(t)$  转变为输出电流的能力

当  $a_0(t)$  与  $a_1(t)$  均是非线性时, 可以展开为:

$$a_0(t) = a_{00} + a_{01} \cos \omega_1 t + a_{02} \cos 2\omega_1 t + \dots$$

$$a_1(t) = g_m(t) = g_{m0} + g_{m1} \cos \omega_1 t + g_{m2} \cos 2\omega_1 t + \dots$$

重复频率均是大信号频率  $\omega_1$

# 为什么是线性?

线性是对小信号  $v_2(t)$  而言

对输出电流

$$i_c(t) = a_0(t) + a_1(t)v_2 + a_2(t)v_2^2 + a_3(t)v_2^3 + \dots$$

忽略  $v_2(t)$  二次方以上各项 ( $v_2(t)$  很小)

$$i_c(t) \approx a_0(t) + a_1(t)v_2 = I_0(t) + g_m(t)v_2(t)$$

特点: 仅包含小信号  $v_2(t)$  的线性项, 不含  $v_2(t)$  的谐波

# 频谱搬移功能

$$i_c(t) \approx a_0(t) + a_1(t)v_2 = I_0(t) + g_m(t)v_2(t)$$

$$a_1(t) = g_m(t) = g_{m0} + g_{m1} \cos \omega_1 t + g_{m2} \cos 2\omega_1 t + \dots$$

$$v_2(t) = V_{2m} \cos \omega_2 t$$

频谱:  $(\omega_1 + \omega_2) \quad (\omega_1 - \omega_2)$

频谱搬移

$$|p\omega_1 \pm \omega_2| \longleftarrow \text{干扰频率} \longrightarrow p\omega_1$$

线性时变工作的优点: 干扰频率中减少了小信号  $\omega_2$  的

$q \geq 2$  以上的组合频率成分

# 小结

---

- 有源器件的伏安特性本质上都是非线性的，根据输入信号的大小可以有不同的描述方法；
- 有源器件构成的线性放大器有一定的线性工作范围，当输入信号超过此线性工作范围后，器件的非线性会引起失真与干扰；
- 衡量窄带线性放大器非线性失真的主要指标是增益1dB压缩点和三阶互调点（输入三阶互调功率IIP3）；
- 非线性器件的平方项可用于频谱搬移电路，为了减少不必要的组合频率干扰，可以采用特性为平方律的器件或采用线性时变工作状态；

## 第二章 RF设计中的基本概念

---

- 噪声
- 非线性
- 灵敏度
- 动态范围

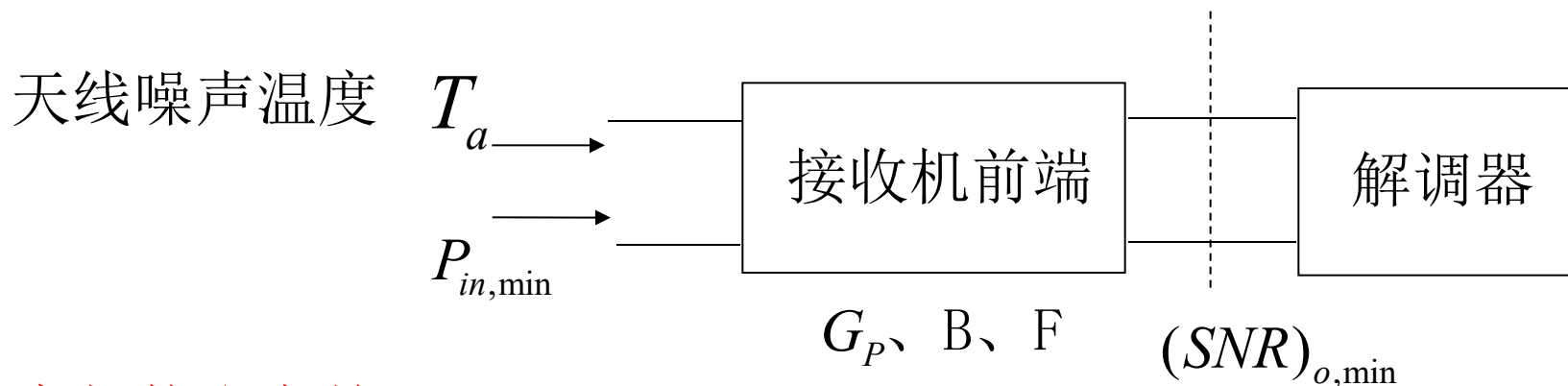
## 2.9 灵敏度与动态范围

有源器件

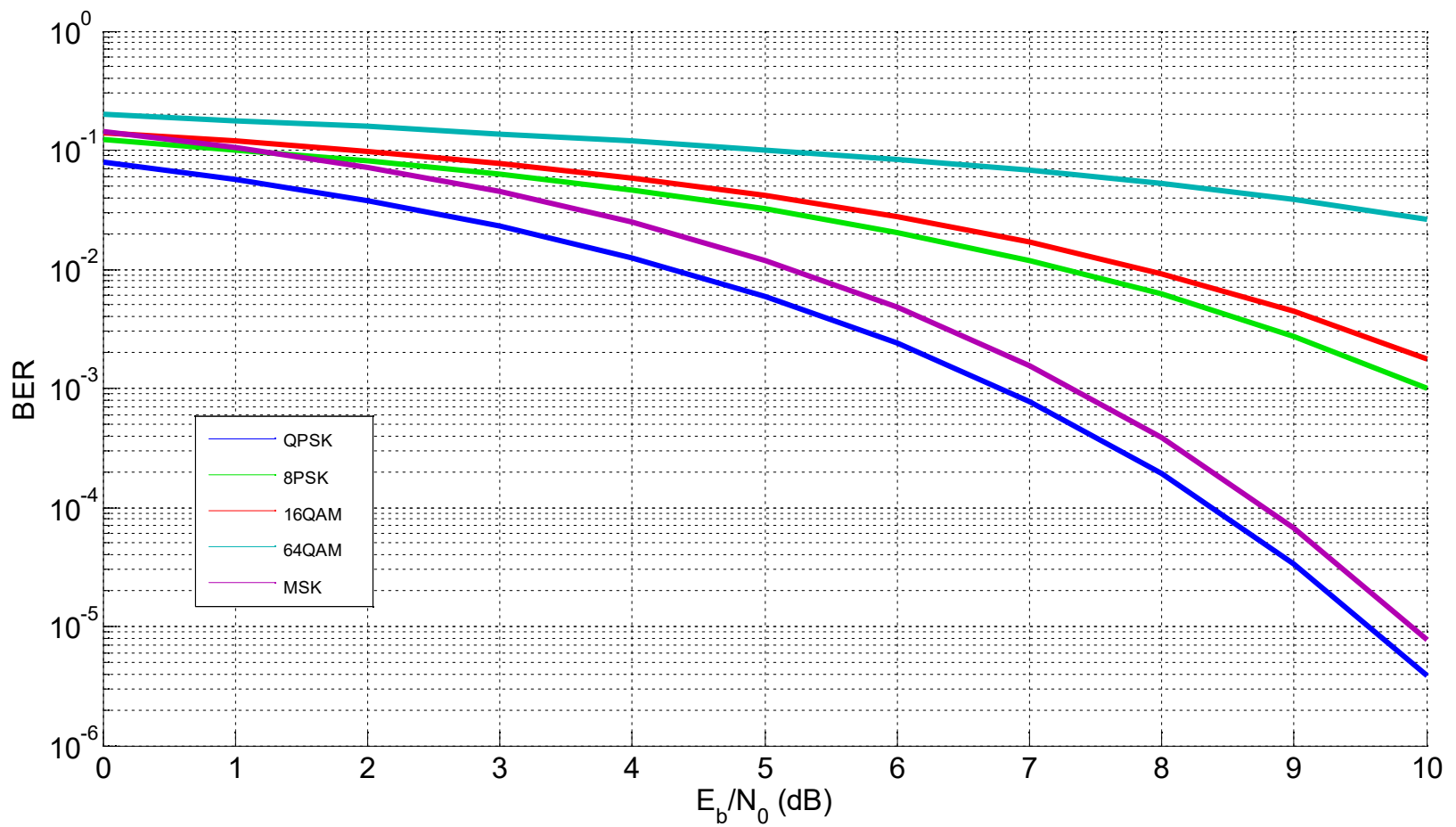
- 噪声----决定了放大器可放大的最低电平
- 非线性--引起失真，决定了放大器可放大的最高电平

### 2.9.1 灵敏度

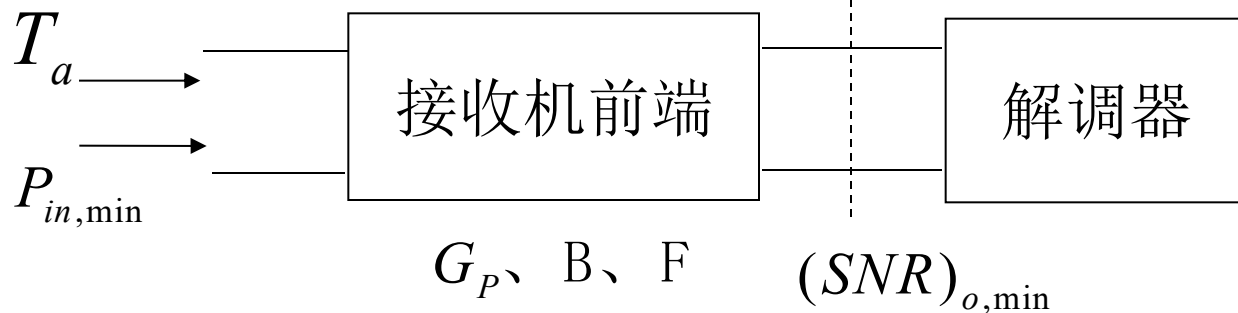
定义：在给定接收机的解调器前端所要求的最低信噪比条件下，接收机所能检测的最低输入信号电平（功率）



灵敏度与什么有关？



## 灵敏度计算



$$P_{in,\min} = \frac{P_{o,\min}}{G_P} = \left(\frac{N_o}{G_P}\right)\left(\frac{P_{o,\min}}{N_o}\right) = \left(\frac{N_o}{G_P}\right)(SNR)_{o,\min}$$

$$N_o = kBT_a G_P + N_{\text{内}} \quad N_{\text{内}} = kBT_e G_P = kB(F-1)T_0 G_P$$

$$N_o = kB[T_a + (F-1)T_0]G_P$$

$$P_{in,\min} = kB[T_a + (F-1)T_0](SNR)_{o,\min}$$

以dB表示

$$P_{in,\min} (dBm) = k[T_a + (F-1)T_0](dBm / HZ) + 10 \log B + (SNR)_{o,\min} (dB)$$

---

$$P_{in,min} (dBm) = k[T_a + (F - 1)T_0](dBm / HZ) + 10 \log B + (SNR)_{o,min} (dB)$$

称  基底噪声  $F_t$  ——描述了系统的总噪声

当  $T_a = T_0$  时

$$F_t (dBm) = kT_0 (dBm / HZ) + NF (dB) + 10 \log B$$

$$F_t (dBm) = -174 (dBm / HZ) + NF (dB) + 10 \log B$$

此时灵敏度:

$$P_{in,min} (dBm) = -174 (dBm / HZ) + NF (dB) + 10 \log B + (SNR)_{o,min} (dB)$$

---

结论：灵敏度为

$$P_{in,\min} (dBm) = F_t (dBm) + (SNR)_{o,\min} (dB)$$

系统的基底噪声越大

要求输出的信噪比越高（输出信号质量好），  
为保证此输出质量所要输入的信号最低电平就越高，  
即灵敏度越低。

## 2.9.2 动态范围

接收机（或放大器）动态范围 =  $\frac{\text{允许的最大输入电平 } P_{in,max}}{\text{允许的最小输入电平 } P_{in,min}}$

影响最小输入电平的因素——灵敏度（基底噪声限制）

影响最大输入电平的因素——非线性失真，输出信噪比下降

### 定义方法

1. 线性动态范围  $DR_L$ 

功率放大器

$$\begin{cases} P_{in,max} & \text{1dB压缩点对应的输入电平} \\ P_{in,min} & \text{灵敏度（或基底噪声）} \end{cases}$$
2. 无杂散动态范围  $DR_F$ 

SFDR  
低噪声放大器、混频器

$$\begin{cases} P_{in,min} & \text{灵敏度（或基底噪声）} \\ P_{in,max} & \longrightarrow F_t = \frac{P_{o3}}{G_P} \quad (\text{ } G_P \text{ 是系统功率增益}) \end{cases}$$

$P_{in,max}$  在输出端产生的三阶互调输出折合到输入端等于噪声基底

---

The End !